

绞股蓝总皂苷对非酒精性脂肪肝大鼠 Treg/Th17 免疫功能的影响

阮丹，雷婧(杭州市第三人民医院，杭州 310000)

摘要：目的 研究绞股蓝总皂苷对非酒精性脂肪肝(nonalcoholic fatty liver disease, NAFLD)大鼠肝脏保护作用及免疫调节作用机制。方法 48只SD大鼠随机分为正常对照组，模型对照组，多烯磷脂酰胆碱胶囊组(阳性对照组， $150\text{ mg}\cdot\text{kg}^{-1}$)及绞股蓝总皂苷高、中、低($240, 120, 60\text{ mg}\cdot\text{kg}^{-1}$)剂量组，除正常对照组外，其余各组连续饲喂高脂饲料10周，制备NAFLD模型；模型成功后，各组连续给药8周。实验期间，分别于给药0, 4, 8周眼眶取血检测血清AST、ALT；末次给药后，采用流式细胞技术检测外周血Th17和Treg细胞含量；酶联免疫法检测血清IL-17、IL-10及TNF- α 含量。HE染色检查肝组织病理变化和免疫组化法检查肝组织IL-17和Foxp3表达。结果 给药4周，绞股蓝总皂苷高剂量显著降低大鼠血清ALT、AST($P<0.01$)；给药8周，绞股蓝总皂苷各剂量均能显著降低血清ALT、AST($P<0.05, 0.01$)。绞股蓝总皂苷高、中剂量能改善肝组织病变，降低TNF- α 水平；高剂量显著降低IL-17、升高IL-10水平($P<0.05, 0.01$)，降低淋巴细胞IL-17含量，升高CD4 $^+$ CD25 $^+$ Treg含量($P<0.05$)，明显减少炎症因子IL-17的表达和增加Foxp3表达。结论 绞股蓝总皂苷能改善NAFLD大鼠肝脏病变，其作用机制可能与调节肝脏Treg/Th17细胞平衡，减少促炎因子和增加抗炎因子产生相关。

关键词：绞股蓝总皂苷；非酒精性脂肪肝；Treg/Th17细胞；炎症因子

中图分类号：R965.2 文献标志码：B 文章编号：1007-7693(2017)12-1683-06

DOI: 10.13748/j.cnki.issn1007-7693.2017.12.009

引用本文：阮丹，雷婧. 绞股蓝总皂苷对非酒精性脂肪肝大鼠 Treg/Th17 免疫功能的影响[J]. 中国现代应用药学, 2017, 34(12): 1683-1688.

Beneficial Effect of Stevenleaf on the Imbalance Between Th17 and Treg in Nonalcoholic Fatty Liver Disease Model Rats

RUAN Dan, LEI Jing(*The Third People's Hospital of Hangzhou, Hangzhou 310000, China*)

ABSTRACT: OBJECTIVE To study the effect of stevenleaf on improving non-alcoholic fatty liver disease in rat model and clarify mechanism from the point of immune-regulation. **METHODS** Forty-eight of rats were divided into six groups: normal group, model group, Essentiale ($150\text{ mg}\cdot\text{kg}^{-1}$), high-dose ($240\text{ mg}\cdot\text{kg}^{-1}$), moderate-dose ($120\text{ mg}\cdot\text{kg}^{-1}$) and low-dose of stevenleaf ($60\text{ mg}\cdot\text{kg}^{-1}$) groups. Rats were given high fat food for continuous 10 weeks, then given correspond drugs for 8 weeks. The levels of serum AST and ALT were measured at 0, 4 and 8 weeks experimental session. The rats were anesthetized after administration 8 weeks. The peripheral blood lymphocytes and serum were separated to measure the contents of Th17 and Treg cells in peripheral blood by flow cytometry and the levels of IL-17, IL-10 and TNF- α in serum by enzyme-linked immunosorbent assay (ELISA). HE staining was used to observe the pathological changes of liver tissue and immunohistochemistry to observe the positive expression of IL-17 and Foxp3 in liver tissue. **RESULTS** The $240\text{ mg}\cdot\text{kg}^{-1}$ of stevenleaf could reduce levels of serum ALT and AST after administration for 4 weeks ($P<0.01$). stevenleaf $240\text{ mg}\cdot\text{kg}^{-1}$, $120\text{ mg}\cdot\text{kg}^{-1}$ and $60\text{ mg}\cdot\text{kg}^{-1}$ could reduce levels of serum ALT and AST after administration for 8 weeks ($P<0.05, 0.01$). Stevenleaf $240\text{ mg}\cdot\text{kg}^{-1}$ and $120\text{ mg}\cdot\text{kg}^{-1}$ could improve liver damage and reduce the level of TNF- α ($P<0.05$). Stevenleaf $240\text{ mg}\cdot\text{kg}^{-1}$ could reduce the content of IL-17 and increase IL-10 in serum ($P<0.05, 0.01$), reduce content of Th17 cell (CD4 $^+$ IL-17 $^+$) and increase CD4 $^+$ CD25 $^+$ Treg in peripheral blood lymphocytes ($P<0.05$), also significantly reduced the expression of inflammatory factor IL-17 and increased Foxp3 expression. **CONCLUSION** Stevenleaf could protect liver tissue damages, its mechanism may be related to regulating Treg/Th17 cell balance, reducing pro-inflammatory factors and increasing anti-inflammatory factors.

KEY WORDS: stevenleaf; nonalcoholic fatty liver; Treg/Th17 cells; inflammatory factors

非酒精性脂肪肝病(non-alcoholic fatty liver disease, NAFLD)是指除酒精和其他明确的损肝因素所致的，以弥漫性肝细胞大泡性脂肪变为主要

特征的临床病理综合征，是脂肪肝主要类型。NAFLD 在我国患病率高达 15%^[1]；全球范围的患病率高达 12.9~46%^[2]。NAFLD 的发生发展是一个

基金项目：浙江省中西医结合学会科研项目(2014LYZD001)

作者简介：阮丹，女，硕士 Tel: 15088660981 E-mail: 328287055@qq.com

多因素作用的复杂过程，除涉及脂质过氧化、线粒体功能障碍、炎性反应因子失平衡、天然免疫等外，NAFLD 发病过程还存在免疫功能失衡，表现为调节性 T 细胞(Treg)和辅助性 T 细胞 17(Th17)数目和功能的异常^[3-4]。

绞股蓝总皂苷是绞股蓝(*Gynostemma pentaphyllum*)主要有效成分群，含有 80 余种达玛烷型四环三萜类人参皂苷类成分。绞股蓝总皂苷具有降脂保肝、降血糖、降血压、增强免疫力等药理作用^[5-6]。研究发现，绞股蓝总皂苷能够调节机体 T 淋巴细胞亚群失调^[7]；抑制 NAFLD 肝病大鼠肝脏脂肪变^[8]。然而绞股蓝总皂苷是否可通过免疫调节防治 NAFLD 及具体机制并不清楚。本实验采用高脂饲料诱导 NAFLD 大鼠模型，探讨绞股蓝总皂苷通过影响 Treg/Th17 细胞免疫功能，并从调节促/抗炎因子平衡途径研究其防治 NAFLD 的作用机制。

1 动物与试剂

1.1 动物及其饲料

48 只清洁级 SD 大鼠，♂，体质量 180~220 g，许可证号 SCXK(浙)20080033，由浙江省医学科学院动物中心提供。高脂饲料含普通饲料 75%、猪油 12%、胆固醇 2%、胆盐 1%、蛋黄粉 10%，购于南通特洛菲饲料科技有限公司，批号为 TP28708U。

1.2 药物

绞股蓝总皂苷(南京泽朗医药科技有限公司，批号：ZL20160321RJ，含量：80%)。多烯磷脂酰胆碱胶囊(赛诺菲，批号：4JD036，规格：每粒 228 mg)。

1.3 试剂

CD4-FITC(货号：11-0040-81)、CD25-PE(货号：12-0390-80)及 IL-17-PE(货号：12-7177-81)流式试剂均购于 eBioscience 公司。白细胞介素 10(IL-10，批号：20161030)、白细胞介素 17(IL-17，批号：20161015)及肿瘤坏死因子-α(TNF-α，批号：20160928)酶联免疫试剂盒购于上海恒远生物科技有限公司。IL-17(抗兔，货号：ab91649)和 Foxp3(抗小鼠，货号：ab22510)购于 abcam 科技有限公司。丙氨酸氨基转移酶(ALT，批号：16092401)、天冬氨酸氨基转移酶(AST，批号：16092401)试剂盒均购于宁波美康生物科技股份有限公司。苏木素-伊红染液(H&E，南京建成科技有限公司，批号：

20160806)。

1.4 仪器

Powerwave340 酶标仪(美国 Bio-TEK 公司)；自动脱水机(SAKURA Tissue-Tek VIP 5Jr)；贝克曼流式细胞仪 FC500((美国 Beckman Coulter 公司)；全自动血生化仪(日本东芝)；ZEISS 荧光倒置显微镜(德国 Carl Zeiss 公司)。

2 方法

2.1 造模、分组及给药干预

48 只大鼠随机分为正常对照组、模型对照组、多烯磷脂酰胆碱胶囊组(阳性对照组，150 mg·kg⁻¹)，绞股蓝总皂苷高、中、低(240，120，60 mg·kg⁻¹)剂量组，每组 8 只。除正常对照组外，其余组给予高脂饲料连续喂养 10 周制备 NAFLD 大鼠模型。模型成功后，连续给药 8 周，此时边造模边给药；正常对照组及模型对照组给予相应体积的蒸馏水，灌胃容积 10 mL·kg⁻¹，每天 1 次。实验期间每周称量大鼠体质量，并观察大鼠一般体征。

2.2 肝功能指标检测及肝组织病理学观察

给药期间，分别于给药第 0, 4, 8 周进行眼眶取血，37℃ 水浴 2 h, 3 500 r·min⁻¹ 离心 10 min，分离血清，采用全自动血生化仪检测血清肝功能 AST、ALT 水平。末次给药后，禁食不禁水 12 h，10% 水合氯醛麻醉大鼠，腹主动脉取血，解剖大鼠取肝脏，生理盐水洗净，称量脏器湿重。计算肝脏系数：肝脏系数(%)=肝湿重/禁食后体质量×100%。取肝左叶相同部分适量放到 4% 中性福尔马林中固定，再经脱水、石蜡包埋、切片(4 μm)、展片、切片粘附、烤片等，采用 HE 染色，观察肝组织病理学改变。

肝脏病变评分：参考 2010 年版《非酒精脂肪肝病诊断指南》(修订版)中《美国国立卫生研究院非酒精性脂肪肝炎(NASH)临床研究网病理工作组指南》进行评分：肝细胞气球样变(细胞肿大，胞浆残留少许)，评分为 0~2 分三个等级：无，0 分；少见，1 分；多见，2 分。肝细胞脂肪变(肝细胞胞浆内出现界限清晰的脂滴空泡)，评分为 0~3 分 3 个等级： $<5\%$ ，0 分；5%~33%，1 分；34%~66%，2 分； $>66\%$ ，3 分。炎症病变(炎症细胞聚集)，评分为 0~3 分四个等级：无，0 分；1~2 个病灶，1 分；3~4 个病灶，2 分； >4 个病灶或桥接(弥散性)或融合性坏死，3 分。其中 ~ 三项病理改变的积分和为 0~8 分，5 分时判定为肝炎。

2.3 酶联免疫法检测肝组织 Treg/Th17 相关炎症指标

肝脏称量后，取肝左叶 0.5 g 制备 10% 生理盐水肝组织匀浆。采用酶联免疫法测定肝匀浆 TNF- α 、IL-17 及 IL-10 水平。

2.4 免疫组化法检测肝组织 Foxp3 和 IL-17 表达

制备好的石蜡切片，用于免疫组化实验。切片经二甲苯脱蜡-乙醇复水-枸橼酸钠缓冲液煮沸抗原修复-3% 双氧水抗原阻断-正常山羊血清封闭 1 h，4 度对应一抗孵育过夜(Foxp3 和 IL-17 一抗或 PBS 代替一抗做阴性对照)-次日复温 30 min-二抗 37 度孵育-DAB 显色-苏木素染核-1% 的盐酸酒精溶液分化-氨水返蓝-乙醇脱水-二甲苯透明-中性树胶封片。风干后在显微镜下观察 Foxp3、IL-17 蛋白表达，黄色至棕褐色表示阳性表达。用 Image Pro Plus 5.1 软件计算平均光密度值。

2.5 流式细胞仪检测法检测外周血 Treg、Th17 含量

1 mL 抗凝腹主动脉全血进行外周淋巴细胞 Treg/Th17 含量检测，Th17 细胞抗体标记为 FITC-抗 CD4 和 PE-抗 IL-17，CD4 $^+$ IL-17 $^+$ 为 Th17 含量；Treg 细胞抗体标记为 FITC-抗 CD4 及 PE-抗 CD25，CD4 $^+$ CD25 $^+$ Treg 细胞为 Treg 含量，按参考试剂说明书步骤处理完成后，上流式细胞仪进行检测。

2.6 统计学分析

计量资料数据结果均采用 $\bar{x} \pm s$ 表示，组间差异比较采用单因素方差分析，方差齐性采用 LSD 检验；方差不齐采用 Dunnett T3 检验， $P < 0.05$ 有统计学意义。

3 结果

3.1 绞股蓝总皂苷对 NAFLD 大鼠体质量和肝脏系数的影响

给药 8 周(造模 18 周后)，与模型对照组相比，绞股蓝总皂苷各剂量对大鼠体质量无明显影响；绞股蓝总皂苷高、中、低(240, 120, 60 mg·kg $^{-1}$)剂量均能显著降低大鼠肝脏系数($P < 0.01$)。结果见表 1。

3.2 绞股蓝总皂苷对 NAFLD 大鼠肝功能的影响

高脂饲料造模 10 周后(给药前)，与正常对照组相比，所有造模大鼠血清 AST 及 ALT 显著升高($P < 0.01$)。给药 4 周，与正常对照组相比，模型大鼠血清 ALT 和 AST 显著升高($P < 0.05$)；与模型对照组相比，绞股蓝总皂苷高剂量(240 mg·kg $^{-1}$)显著降低大鼠血清 ALT、AST($P < 0.01$)，中剂量

(120 mg·kg $^{-1}$)显著降低大鼠血清 AST($P < 0.05$)；给药 8 周，绞股蓝总皂苷高、中、低(240, 120, 60 mg·kg $^{-1}$)剂量均能显著降低大鼠血清 ALT、AST($P < 0.05$ 或 0.01)。结果见图 1。

表 1 绞股蓝总皂苷对 NAFLD 大鼠体质量和肝脏系数的影响($n=8$, $\bar{x} \pm s$)

Tab. 1 Effect of stevenleaf on body weight and liver coefficient in NAFLD rats($n=8$, $\bar{x} \pm s$)

| 组别 | 剂量/mg·kg $^{-1}$ | 体质量/g | 肝脏系数/% |
|---------|------------------|------------|-------------------------|
| 正常对照组 | - | 483.5±11.4 | 2.55±0.28 |
| 模型对照组 | - | 487.3±14.8 | 5.30±0.35 ¹⁾ |
| 阳性对照组 | 150 | 488.3±19.8 | 3.02±0.27 ²⁾ |
| 绞股蓝总皂苷组 | 240 | 504.0±37.0 | 3.58±0.86 ²⁾ |
| | 120 | 481.6±26.2 | 4.03±0.88 ²⁾ |
| | 60 | 472.8±24.0 | 4.44±0.60 ²⁾ |

注：与正常对照组比较，¹⁾ $P < 0.01$ ；与模型对照组比较，²⁾ $P < 0.01$ 。

Note: Compared with normal control group, ¹⁾ $P < 0.01$; compared with model group, ²⁾ $P < 0.01$.

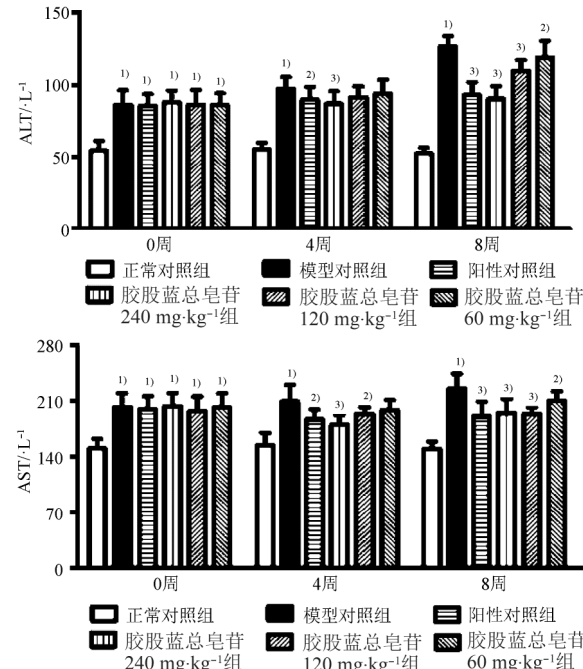


图 1 绞股蓝总皂苷对 NAFLD 大鼠血清 AST、ALT 的影响($n=8$, $\bar{x} \pm s$)

与正常对照组比较，¹⁾ $P < 0.01$ ；与模型对照组比较，²⁾ $P < 0.05$ ，³⁾ $P < 0.01$ 。

Fig. 1 Effect of stevenleaf on AST, ALT in serum of NAFLD rats($n=8$, $\bar{x} \pm s$)

Compared with normal control group, ¹⁾ $P < 0.01$; compared with model group, ²⁾ $P < 0.05$, ³⁾ $P < 0.01$.

3.3 绞股蓝总皂苷对 NAFLD 大鼠肝脏病理学的影响

正常对照组肝细胞以中央静脉为中心向周围呈放射状排列，肝细胞核大而圆，位于细胞中央，

肝细胞未见浊肿、脂肪变或坏死。与正常对照组相比，模型对照大鼠肝小叶消失，肝组织严重脂肪变，表现为大部分肝细胞空泡脂滴及小部分肝细胞的气球样变，并可见大量的炎性灶。与模型对照组相比，连续给药8周，绞股蓝总皂苷高、中、低($240, 120, 60 \text{ mg}\cdot\text{kg}^{-1}$)剂量能减少肝细胞脂肪变及炎症细胞浸润，其肝脏病变程度明显减轻。结果见图2。

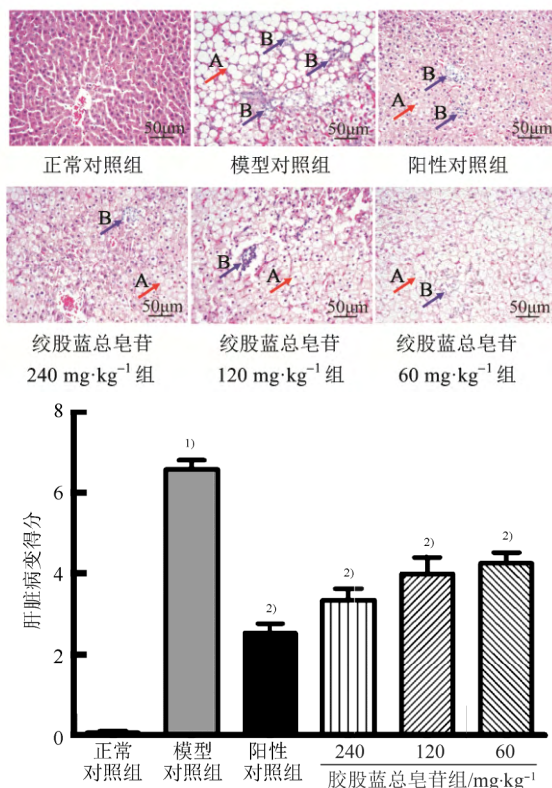


图2 绞股蓝总皂苷对 NAFLD 大鼠肝组织病变的影响(HE, 200×)

箭头 A 表示代表性肝组织脂肪变或气球样变；箭头 B 代表炎性灶；与正常对照组比较，¹⁾ $P < 0.01$ ；与模型对照组比较，²⁾ $P < 0.01$ 。

Fig. 2 Effect of stevenleaf on pathological changes of hepatic tissues(HE, 200×)

Arrow A meant liver tissue damaged; arrow B meant focal inflammation; compared with normal control group, ¹⁾ $P < 0.01$; compared with model group, ²⁾ $P < 0.01$.

3.4 绞股蓝总皂苷对 NAFLD 大鼠 Treg/Th17 相关肝组织炎症指标的影响

与正常对照组相比，模型对照组的肝组织炎症指标 IL-17、TNF- α 、IL-10 水平显著升高($P < 0.01$)；连续给药8周，与模型对照组相比，绞股蓝总皂苷高剂量($240 \text{ mg}\cdot\text{kg}^{-1}$)显著降低肝组织中 IL-17、TNF- α ，升高 IL-10 水平($P < 0.05$ 或 0.01)；中剂量($120 \text{ mg}\cdot\text{kg}^{-1}$)降低肝组织中 TNF- α 水平；各剂量均能显著降低 IL-17 水平($P < 0.05$)。结果见表2。

表2 绞股蓝总皂苷对 NAFLD 大鼠 Treg/Th17 相关肝组织炎症指标的影响($n=8$, $\bar{x} \pm s$)

Tab. 2 Effect of stevenleaf on Treg/Th17-related inflammation markers in liver tissue of NAFLD rats($n=8$, $\bar{x} \pm s$)

| 组别 | 剂量/ $\text{mg}\cdot\text{kg}^{-1}$ | IL-17/ $\text{ng}\cdot\text{L}^{-1}$ | TNF- α / $\text{ng}\cdot\text{L}^{-1}$ | IL-10/ $\text{pg}\cdot\text{mL}^{-1}$ |
|---------|------------------------------------|--------------------------------------|---|---------------------------------------|
| 正常对照组 | - | 59.6 \pm 9.6 | 71.0 \pm 11.3 | 50.6 \pm 6.8 |
| 模型对照组 | - | 115.5 \pm 6.0 ¹⁾ | 151.6 \pm 10.8 ¹⁾ | 69.0 \pm 12.6 ¹⁾ |
| 阳性对照组 | 150 | 104.1 \pm 7.6 ²⁾ | 136.8 \pm 11.0 ³⁾ | 80.5 \pm 6.0 ²⁾ |
| 绞股蓝总皂苷组 | 240 | 105.8 \pm 9.8 ²⁾ | 124.3 \pm 6.3 ³⁾ | 95.8 \pm 11.1 ³⁾ |
| | 120 | 103.8 \pm 12.0 ²⁾ | 136.8 \pm 10.5 ³⁾ | 74.5 \pm 12.5 |
| | 60 | 107.1 \pm 9.9 ²⁾ | 142.3 \pm 13.7 | 68.0 \pm 12.1 |

注：与正常对照组比较，¹⁾ $P < 0.01$ ；与模型对照组比较，²⁾ $P < 0.05$ ，³⁾ $P < 0.01$ 。

Note: Compared with normal control group, ¹⁾ $P < 0.01$; compared with model group, ²⁾ $P < 0.05$, ³⁾ $P < 0.01$.

3.5 绞股蓝总皂苷($240 \text{ mg}\cdot\text{kg}^{-1}$)对 NAFLD 大鼠肝组织 Foxp3 和 IL-17 表达的影响

与正常对照组相比，模型组的大鼠肝组织细胞质 IL-17 阳性表达显著增多，Foxp3 细胞核阳性表达显著减少；给药8周，与模型对照组相比，绞股蓝总皂苷高剂量($240 \text{ mg}\cdot\text{kg}^{-1}$)能显著减少炎性因子 IL-17 的表达和增加核 Foxp3 表达。IL-17 主要在细胞质表达；Foxp3 主要在细胞核表达。结果见图3，箭头所指为代表性阳性表达。

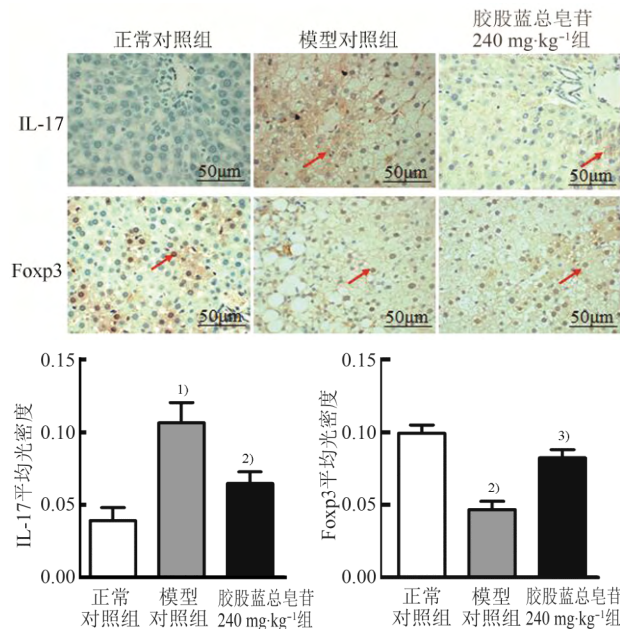


图3 免疫组化法观察绞股蓝总皂苷对 NAFLD 大鼠肝组织 Foxp3 和 IL-17 蛋白表达的影响(400×)

与正常对照组比较，¹⁾ $P < 0.01$ ；与模型对照组比较，²⁾ $P < 0.05$ ，³⁾ $P < 0.01$ 。

Fig. 3 Effect of stevenleaf on Foxp3 and IL-17 expression in liver tissue of NAFLD rats by immunohistochemistry
Compared with normal control group, ¹⁾ $P < 0.01$; compared with model group, ²⁾ $P < 0.05$, ³⁾ $P < 0.01$.

3.6 绞股蓝总皂苷($240 \text{ mg}\cdot\text{kg}^{-1}$)对 NAFLD 外周血 Treg 及 Th17 细胞含量的影响

与正常对照组相比，模型组外周血淋巴细胞 IL-17 含量显著升高($P<0.01$)， $\text{CD4}^+\text{CD25}^+$ Treg 含量显著降低($P<0.05$)；连续给药 8 周，与模型对照组相比，绞股蓝总皂苷高剂量($240 \text{ mg}\cdot\text{kg}^{-1}$)显著降低淋巴细胞 IL-17 含量，并升高 $\text{CD4}^+\text{CD25}^+$ Treg 含量($P<0.05$)。结果见图 4。

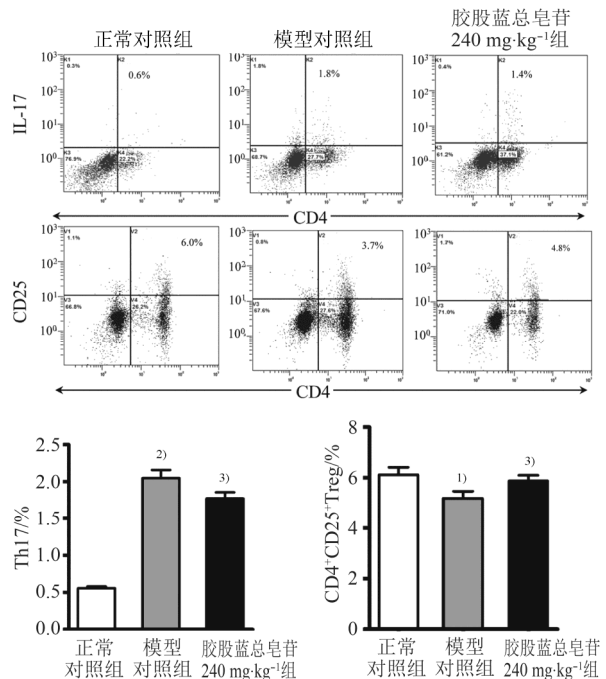


图 4 绞股蓝总皂苷对 NAFLD 大鼠的外周血淋巴细胞 Treg 及 Th17 细胞的影响

与正常对照组比较,¹⁾ $P<0.05$,²⁾ $P<0.01$;与模型对照组比较,³⁾ $P<0.05$ 。

Fig. 4 Effect of stevenleaf on Foxp3 and IL-17 in blood of NAFLD rats

Compared with normal control group,¹⁾ $P<0.05$,²⁾ $P<0.01$; compared with model group,³⁾ $P<0.05$.

4 讨论

NAFLD 主要是由于甘油三酯(脂肪变性)在肝脏过度堆积造成的肝脏疾病，已成为全球性重大公共健康问题。随着肝脏代谢紊乱、肝脏脂肪变性加剧，NAFLD 可发展成肝纤维化、肝硬化、肝癌等。2010 年《中国非酒精性脂肪肝诊治指南修订版》推荐治疗 NAFLD 的药物包括多烯磷脂酰胆碱、水飞蓟素、维生素 E、甘草酸制剂、双环醇等。其中多烯磷脂酰胆碱胶囊可通过促进肝细胞膜的再生和稳定，减少肝脏脂质沉积，抑制脂质过氧化，抑制胶原合成等，对中毒性肝损伤和脂肪肝有较好的疗效，是临床保肝药的首选。研究表明多烯磷脂酰胆碱胶囊还可通过调节 NAFLD 小鼠

模型 Treg/Th17 细胞和相关的分泌因子平衡，抑制小鼠模型炎症反应，防止脂肪肝的发生发展^[9]。因此本实验选择多烯磷脂酰胆碱胶囊为阳性药，研究绞股蓝总皂苷对 NAFLD 大鼠 Treg/Th17 免疫功能的影响。

NAFLD 发病机制广泛认可的是肝脏“二次打击”学说，胰岛素抵抗先造成肝脏第一次打击，氧化应激、免疫系统激活以炎症细胞因子等产生第二次打击^[10]。越来越多研究表明 NAFLD 存在免疫微环境的改变，并与免疫功能及炎症细胞因子失衡密切相关^[9, 11]。Treg 细胞和 Th17 细胞属于 CD4^+ 淋巴细胞亚群。Th17 细胞主要分泌或诱导 IL-17、IL-6 与 TNF- α 等促炎因子^[12]，介导炎症反应，促进肝炎的发生发展。Treg 细胞是一类具有较强免疫抑制效应的 T 细胞亚群，主要分泌 IL-10、IL-4 和 TGF- β 1 等因子，可抑制肝脏的免疫炎症过度损伤；叉头状转录因子 3 (Foxp3) 是 Treg 细胞特异性转录活化因子^[13]。研究表明脂肪肝小鼠 TNF- α 、IL-6 及 IL-17 等表达显著升高，Foxp3 表达降低，Th17/Treg 免疫调节失衡^[9]。

本实验通过连续喂食高脂饲料 10~18 周，成功复制 NAFLD，表现为肝损伤特异性标记物血清 ALT 和 AST 的显著升高和肝脏严重的脂肪及炎症变。采用流式细胞技术检测模型大鼠的外周血 Treg/Th17 细胞的酶联免疫法检测肝组织 Treg/Th17 相关炎症因子 IL-17、IL-10 和 TNF- α ，并结合免疫组化检测肝组织 IL-17 和 Foxp3 的表达。结果显示，Th17 细胞、IL-17 和 TNF- α 水平显著升高，Treg 细胞和 Foxp3 水平显著减少，与已有报道一致。

已有研究表明，绞股蓝总皂苷能显著降低脂肪肝大鼠 TNF- α 和 NF- κ B 含量，减轻肝脏炎症^[14-15]；表明绞股蓝总皂苷可能调节 Th17 免疫功能发挥抗肝炎作用。Treg 细胞与 Th17 细胞在机体相互拮抗，维持机体免疫炎症平衡；目前，绞股蓝总皂苷对 Treg、Th17 细胞功能的影响研究鲜见报道。本实验结果显示，绞股蓝总皂苷能显著降低肝组织 IL-17 表达，增加 Foxp3 表达；减少 Th17 细胞相关炎症因子 IL-17 和 TNF- α 产生；增加 Treg 相关细胞因子 IL-10 含量；说明绞股蓝总皂苷能够调节 Treg/Th17 免疫功能失调，防止 NAFLD 大鼠肝脏病变的发生发展。

综上所述 绞股蓝总皂苷能有效防治 NAFLD，

其作用机制可能与调节肝脏 Treg/Th17 细胞平衡，减少促炎因子和增加抗炎因子产生，从而减少肝脏炎性反应，保护肝组织，值得进一步的研究开发。

REFERENCES

- [1] FAN J G. Epidemiology of alcoholic and nonalcoholic fatty liver disease in China [J]. *J Gastroenterol Hepatol*, 2013, 28(Suppl 1): 11-17.
- [2] TOSHIKUNI N, TSUTSUMI M, ARISAWA T. Clinical differences between alcoholic liver disease and nonalcoholic fatty liver disease [J]. *World J Gastroenterol*, 2014, 20(26): 8393-8406.
- [3] CAI X H, ZHU W H, LI W P. Effects of rapamycin on balance of regulatory T lymphocyte/T help cell 17 in nonalcoholic fatty liver of rats [J]. *Chin J Clin Pharmacol(中国临床药理学杂志)*, 2017, 33(1): 36-39.
- [4] RAU M, SCHILLING A K, MEERTENS J, et al. Progression from nonalcoholic fatty liver to nonalcoholic steatohepatitis is marked by a higher frequency of Th17 cells in the liver and an increased Th17/resting regulatory T cell ratio in peripheral blood and in the liver [J]. *J Immunol*, 2015, 196(1): 97-105.
- [5] SHU B, LIU Z J, QIAN M Z. Effects of gypenosides on vascular smooth muscle cells phenotype in hyperlipidemic rats [J]. *Nat Prod Res Dev(天然产物研究与开发)*, 2017 29(2): 217-223.
- [6] LI J Y, LI X F. Orthogonal test for optimization of extraction process of *Gynostemma Pentaphylla* soft gel [J]. *Phram Today(今日药学)*, 2014, 24(2): 123-125.
- [7] JIA D, ZHAO J T. Effects of gypenosides on immune function of heat-stressed broilers [J]. *J Shanxi Agric Univ(山西农业大学学报)*, 2007, 27(5): 12-14.
- [8] ZHANG X, LEI F F, LI F, et al. Effect of the degrees of fatty liver disease in rats with type 2 diabetes mellitus and nonalcoholic fatty liver disease was treated by gypenosides and ginkgo biloba extract mixture [J]. *Chin J Liver Dis(中国肝脏病杂志)*, 2015, 7(1): 55-58.
- [9] HE B H, WU L Y, XIE W, et al. The imbalance of Th17/Treg cells is involved in the progression of nonalcoholic fatty liver disease in mice [J]. *BMC Immunol*, 2017, 18(33): 1-9.
- [10] LIU L B, ZHANG M G, FANG Q M, et al. Changes of GLP-1 and GIP in patients with non-alcoholic fatty liver disease after oral glucose [J]. *Chin J Mod Appl Pharm(中国现代应用药学)*, 2016, 33(3): 368-371.
- [11] GUO W, GAO M S, LI W, et al. Effects of metformin combined with enteric bifid-triple viable capsule on nonalcoholic fatty liver disease [J]. *Chin J New Durgs(中国新药杂志)*, 2016, 25(4): 439-442.
- [12] XU J P, HE F, YANG M H, et al. Intervention effect of Shaoyao Gancao decoction on the imbalance of Treg/Th17 and their related cytokine in rats with asthma [J]. *Chin J Mod Appl Pharm(中国现代应用药学)*, 2016, 33(1): 19-23.
- [13] HOU X, SONG J, SU J, et al. CD4(+)Foxp3(+) Tregs protect against innate immune cell-mediated fulminant hepatitis in mice [J]. *Mol Immunol*, 2015, 63(2): 420-7.
- [14] PAN Y X, WAN Y T, ZHANG H, et al. Protection of gypenosides and relationship with TNF- α in alcoholic fatty liver of rats [J]. *J Public Health Prev Med(公共卫生与预防医学)*, 2013, 24(4): 25-29.
- [15] CHENG D W. Protective effects of *gynostemma* total glucoside on alcoholic fatty liver in rat [J]. *J Hubei Univ Nat (湖北民族学院学报)*, 2015, 32(1): 8-11.

收稿日期：2017-05-10

(本文责编：蔡珊瑚)

《中国现代应用药学》第七届编委会特约编委名单(按姓氏拼音排序)

| | | | | | | |
|-----|-----|-----|-----|-----|-----|-----|
| 蔡萍 | 陈伯华 | 陈素红 | 陈悦 | 程国华 | 范晓辉 | 方晴霞 |
| 韩奇 | 何昱 | 江波 | 蒋国军 | 居靖 | 匡荣 | 梁广 |
| 梁锦锋 | 林观样 | 刘金来 | 刘茂柏 | 楼炜 | 陆国红 | 吕小琴 |
| 倪韶青 | 裴泽军 | 邵华 | 沈志华 | 盛荣 | 施菁 | 石庆平 |
| 史天陆 | 寿旦 | 苏为科 | 王斌 | 王根宝 | 王卓 | 吴光亮 |
| 吴耀东 | 徐圣秋 | 严伟 | 原永芳 | 杨道钠 | 郁引飞 | 张剑萍 |
| 张水利 | 赵华军 | 赵永星 | 周萍 | 朱建国 | 朱婉萍 | 朱余兵 |